

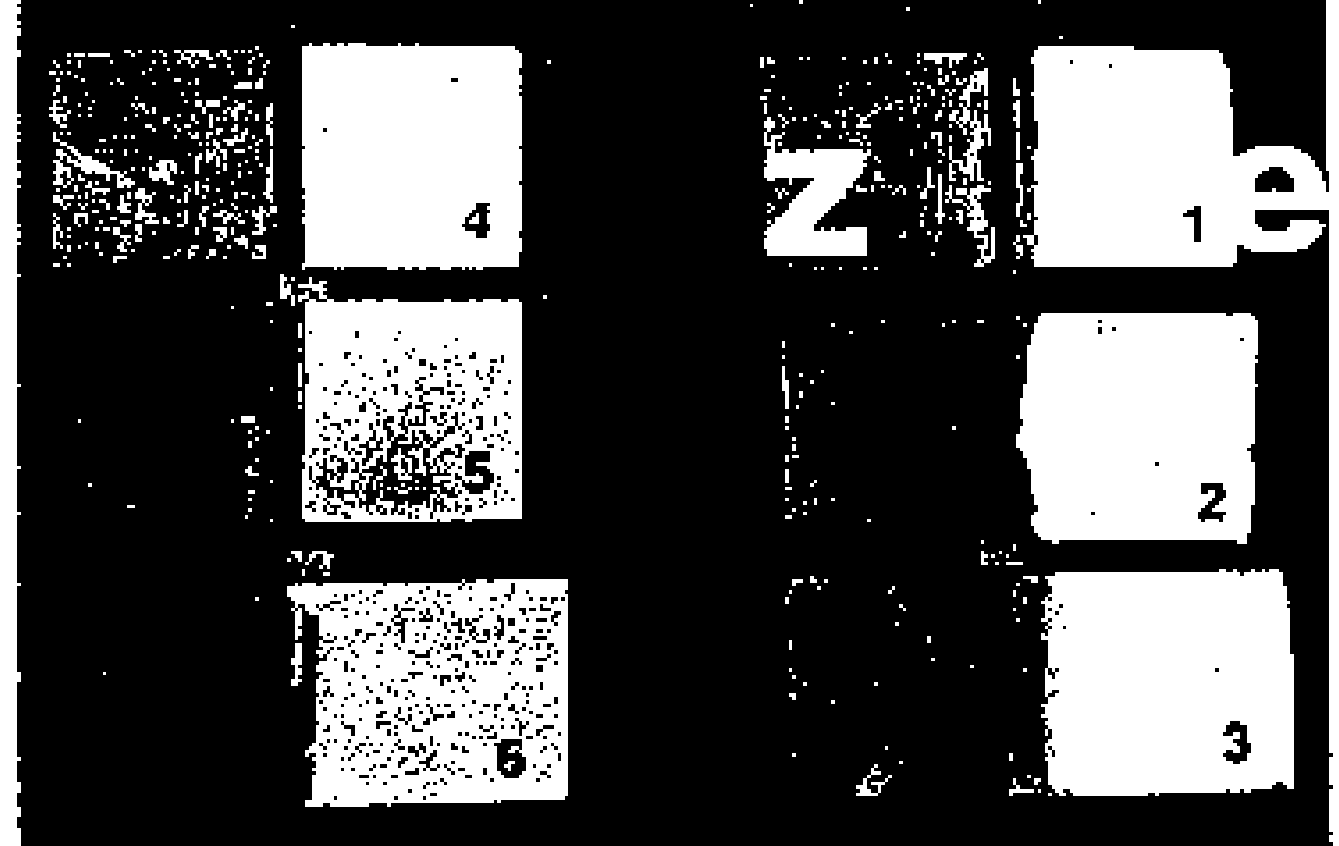
Conservator - Restorers' Bulletin

Buletyn

Informacyjny Konserwatorów Dzieł Sztuki



ISSN 1234-5678



Targi SACROEXPO

– największa wystawa sakralna w 2002 roku w Europie

46

Wpływ redispersyjnych żywic proszkowych
na właściwości zapraw budowlanych do celów prac konserwatorskich
*The effect of a Redispersible Emulsion Powder on the
Properties of Mortars for Conservation*

Providence Bertrand, Muriel Jaffray, Jean-Michel Lachaud, Sébastien

Z przeprowadzonych badań wynika, że różnicę w składzie zapraw wynikającą z proporcji spłoną mineralnego do redispersanta, jak też dodatku żywicy redispersyjnej wykazują zmiany waph w na skutek ich właściwości właściwej dla przeróżności do produkcji. W oparciu o zmiany obserwowane po przeprowadzone badanie poświęcone i schwalbionemu właściwości zapraw makrofikonomicznych redispersyjnych żywic. Artykuł jest szczególnie cenny dla konserwatorów pracujących z zaprawami budowlanymi.

50

Tuczno. Historia budowy miast

A. S. Gromowik, A. S.

Opisująca omawiające historię Tuczna od czasów jego założenia, aż do dnia współczesnego. Artykuł jest niezwykle cenny dla mieszkańców, którzy zajmują się planowaniem przestrzennym i zagospodarowaniem terenu, wskazującą na potrzeby zabezpieczenia i celemu rozwijających się kultury i gospodarki.

56

Konserwacja dziedzictwa archeologicznego w Polsce:
niektóre aktualne kwestie (część I)
Conservation of the Archaeological Heritage in Poland - some Current Issues (Part I)

Piotr M. Bartłomiej

Artykuł charakteryzuje stanowiska archeologiczne oraz metody ich ochrony i eksploatacji, omawiając jednaczemnie etyczne problemy prawnie i administracyjne. Artykuł porusza istotne problemy prowadzenia badań archeologicznych, zwracając szczególną uwagę na odpowiedzialną ratunek i zarządzanie z pracami budowlanymi, jak również idee zabezpieczenia zabytków *in situ* i ujawniające z nich konserweryje.

66

Zagadnienie konserwacji i restauracji nowo odkrytego szkicu Józefa Chelmnickiego

Bogusław J. Ruciński

Odkrycie szkicu Józefa Chelmnickiego stało się pretekstem do omówienia zagadnień związanych z koncepcjami konserwacji i zabezpieczenia i restauracji. Autorka zwraca uwagę na indywidualne traktowanie obiektu zabytkowego. Istotne jest również podkreślenie problemów etycznych związanych z odpowiedzialnym prowadzeniem zamierzeń konserwatorów, jak i opiekunów.

72

SERIA WYDANIA ESEJE

US/ICOMOS International Summer Intern Program 2001
Magdalena Grzyb

Relacja z prac dokumentacyjnych prowadzonych przez Ośrodek Badania Amerykańskiego Budownictwa Historycznego w Stanach Zjednoczonych

76

Aufbaustudium Denkmalpflege – Bamberg

Jolanta Miszewska

Omówienie podopłyniowych rocznych studiów konserwatorskich prowadzonych na Uniwersytecie Otto-Friedricha w Bambergu

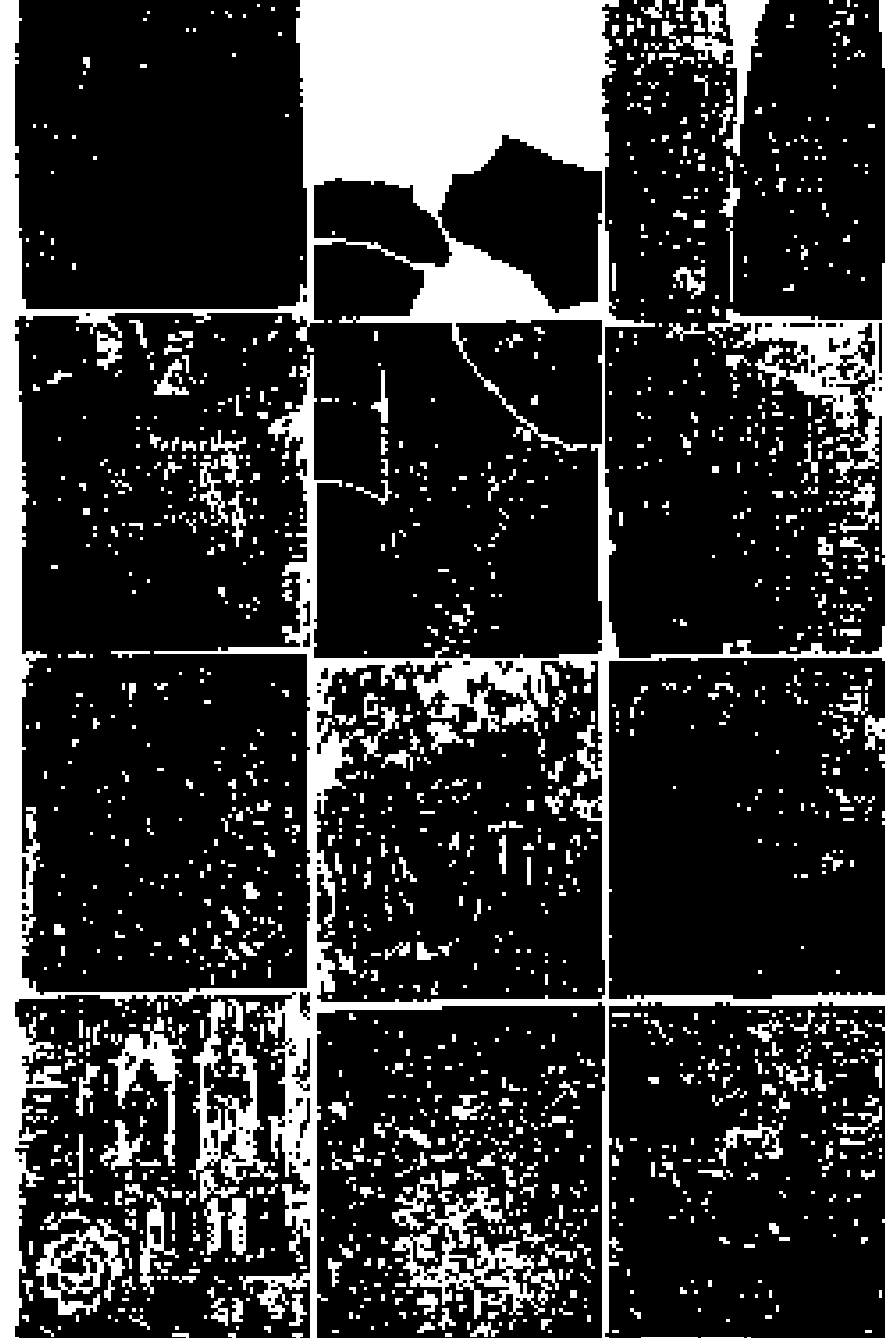
85

Wykład

Spicere Parvulus

Osobistem literackiej opowieści jest jeden z najurbilniejczych egipsologów – Jean Leclant, który był gościem honorowym obchodów stu lat tradycji Kazimierza Mielochowskiego

37



39

Translations Contents

Unia Europejska i Polska. Polityka i ochrona zabytków

The European Union and Poland. Policy and the Protection of Historic Monuments
Wenecja Tatarska w 1415 r.

4

ZAKŁAD KONSERWATORA MATERIAŁÓW

Konserwacja mosiężnych obiektów zabytkowych o dużym stopniu zniszczenia na przykładzie gotyckich płyt nagrobnych Piotra II Nowaka i Rudolfa z Rüdesheim

Conservation of a Severely Damaged Gothic Brass Objects from the Tomb of Peter II Nowak and Rudolf of Rüdesheim
Praca doktorska: Małgorzata Kowalska-Morawska

5

O istocie oraz morfologii korozyjnej rzymskich szkieł wykopaliskowych wydobytych na wschodnich rubieżach basenu Morza Śródziemnego

Character and morphology of the corrosion of Roman glass found on the eastern borders of the Mediterranean Sea Basin
Doktorat honorowy Uniwersytetu Adama Mickiewicza w Poznaniu
d. hab. prof. dr hab. Krzysztof Włodarczyk

Visiting Professor, Dept. of Archaeology, University of Szczecin

20

Wybrane żółte faki rekonstrukcja technologiczna

Selected Yellow Fakes - technological reconstruction

Wydział Antropologiczny, Instytut Etnologii i Antropologii

28

Połączenie metody radiometrycznej z ultradźwiękową do diagnostyki stanu zachowania drewna zabytkowego

Combination of Radiometric and Ultrasonic Methods for the Diagnosis of the State of Preservation of Ancient Wood
Wydział Nauk o Ziemi, Państwowa Wyższa Szkoła Zawodowa w Zielonej Górze

34

ZAKŁAD KONSERWATORA MATERIAŁÓW

Konserwacja ksiąadek bez demontażu bloku – krótkie omówienie na przykładzie trzech realizacji

Reparowanie d. bloku w formie Disassembling d. the Block - short account about three cases

Małgorzata Pruszczyńska

40

Artykuł omawiający konserwację dawnych gotyckich płyt nagrobnych pochodzących z kościoła we Wronkach. Metalowe fale w czasie działań wojennych w 1415 roku uległy poważnemu uszkodzeniu mechanicznemu, wielu zniszczonych spominających było konieczne całkowite zamiana opisanych obiektów z przejętym udziałem prac konservatorskich.

Przedstawiające uszkodzenia szkła wykopaliskowego w zależności od jego składu chemicznego i sposobu obróbki miedzi. Autorzy omawiają różne chemiczne zanieczyszczenia w szkle pod wpływem czynników środowiskowych, co prowadzi do powstania i utrwaliania się nowych charakterystycznych uszkodzeń widocznych na powierzchni szkła rzymskiego.

Laboratorium omawiające cztery sposoby pozytywowania leków z różnych roków w oparciu o stare tradycje i nowoczesne opracowania. Rekonstrukcja dwóch leków zatrzymanego. Przedstawiono ponadto cztery leki z pozytywem lekowym dla celów naukowych i prac konservatorskich, stosując sposób nowoczesny: guma arabska z lekiem olejno-twardzicznym.

W artykule porównano metody badawcze: pomiaru prędkości ultradźwiękowej i metody radiometrycznego pomiaru gęstości drewna. Pierwsza metoda pozwala określić stopień wewnętrznej degradacji drewna w różnych częściach obiektu, andrej bier również przykłady do badania stopnia przeprowadzonej impregnacji. Drugi sposób oceny – badanie radiometryczne pozwala na określenie gęstości struktury drewna, a tym samym pozwala ją określić jego stan zachowania.

Demonstracja zabytkowej księgi daje nietypowe konservatorskie możliwości dostępu do wszelkich kart i w związku z tym pełniejszej konservacji, pozwala na jednak uzupełnienie konservacyjnej obiektu i nieodwracalne zmiany w jej antycznej strukturze. Wielostopniowe aspekty demontażu księgi omówiono na przykładzie konservacji trzech rzeczomodnieszych zabytków.

O istocie oraz morfologii korozjnej rzymskich szkiet wykopaliskowych wydobytych na wschodnich rubieżach basenu Morza Śródziemnego

VASILIOS LAMPROPOULOS*, DOROTA NOWACKA, IOANNIS KARATASIOS

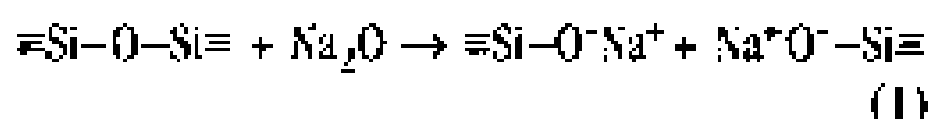
**Technological Educational Institution of Athens, Greece
Department of Conservation of Antiquities and Works of Artsts**

Szkło jest amorficznym materiałem stałym, uzyskiwanym na drodze topnienia mineralów krystalicznych. Zarówno struktura jak i nawet sama definicja szkła przez całe lata stanowiły wyzwanie dla badaczy zajmujących się dziedziną chemii fizycznej. Dla celów archeologicznych w zupełności wystarczająca jest jednak następująca definicja szkła, zaproponowana przez Amerykańskie Towarzystwo Badania Materiałów (American Society for Testing Materials – ASTM): „Szkło jest nieorganicznym produktem topnienia, który schłodzony został do zastygnięcia z omijaniem procesu kryształizacji”. (Pollard M.A., Heron C., 1996).

Główna różnica pomiędzy stanem krystalicznym a stanem szklistym zawarta jest w samym przejściu ze stanu stałego w ciekły i spowrotem. O ile dla ciął krystalicznych przejście to zachodzi natychmiastowo w temperaturze, która jest bardzo dobrze zdefiniowana (temperatura topnienia), o tyle w szkle zmiana ta odbywa się progresywnie w pewnym zakresie temperatur, zwanym zakresem przejścia szklistego, w którym materiał ze stanu kompletnie sztywnego przechodzi w stan o coraz mniejszej lepkości (Verita M., 2000).

Szkło jest zazwyczaj zbudowane z krzemionki SiO_2 (budulec sieci), występującej w postaci statystycznej sieci jednostek, zbudowanych z tlenu oraz krzemu. Każdy atom tlenu sąsiaduje z dwoma atomami krzemu, zaś struktura szkła utworzona jest poprzez wspólny udział narożników sąsiadujących ze sobą „czworościanów tlennowych”. Struktura czystej krzemionki jest bardzo luźna i posłada ona wiele zagłębień, w które wprowadzić można zarówno jony tlenków metali alkalicznych, takich jak Na_2O lub K_2O (modyfikatory sieci), jak i jony tlenków metali ziem alkalicznych, takich jak CaO lub MgO (stabilizatory sieci).

W przypadku, kiedy do krzemionki dodany jest metal alkaliczny (sód, potas, etc.), ciągłość sieci zostaje częściowo przerwana, a wiązania $\text{Si}-\text{O}-\text{Si}$ ulegają modyfikacji z utworzeniem jednostek $\text{Si}-\text{O}^-$:



Wiązania utworzone pomiędzy kationami a krzemem są słabsze niż wiązanie krzem-tlen. Przerwanie ciągłości sieci w wielu punktach ostabia ją,

zmieniając tym samym właściwości szkła. W szczególności zmniejsza się jego lepkość w wysokich temperaturach, co umożliwia topienie szkła w temperaturach niższych niż w przypadku czystej krzemionki (Verita M., 2000).

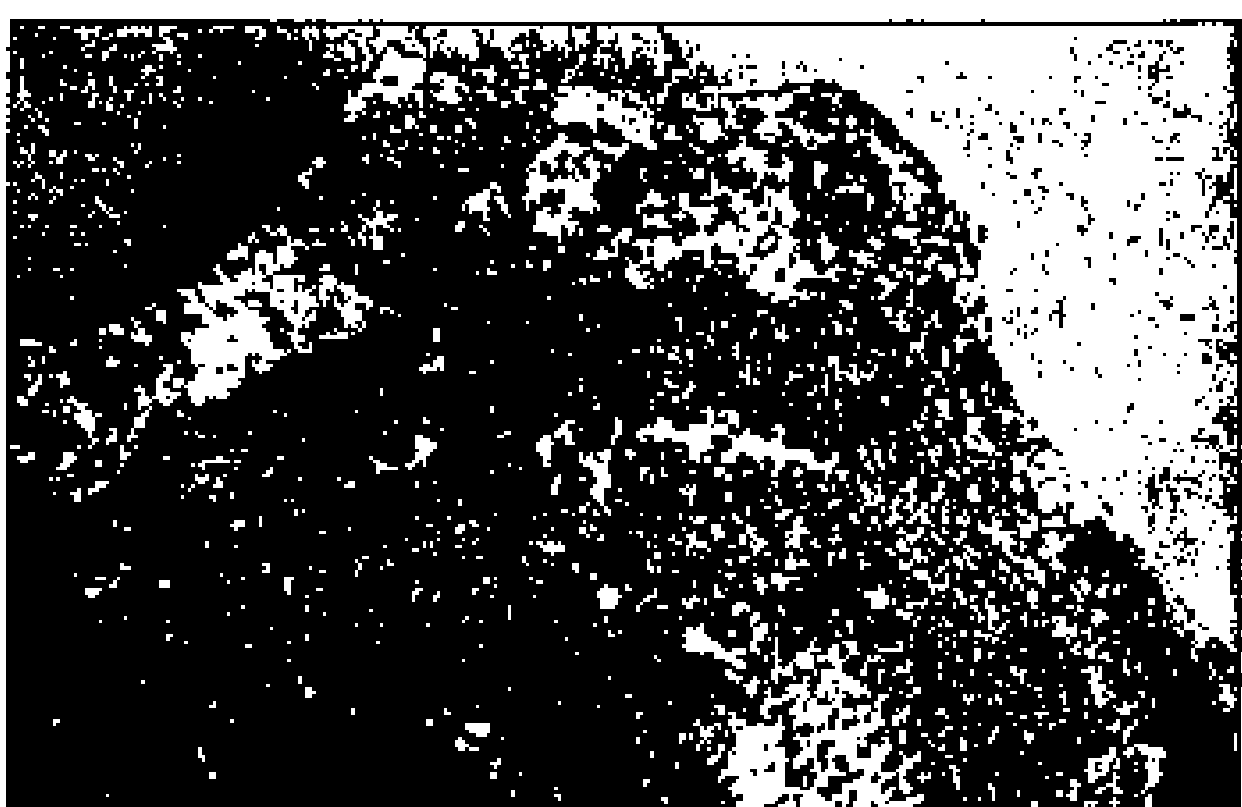
Dodatek ziemi alkalicznej do struktury szkła opisać można następującym schematem reakcji:



Wiązanie Ca–O jest silniejsze od wiązania Na–O. Stanowi to wynik wartościowości jonu wapnia wynoszącej 2 i powodującej, że z tym kationem związany jest nie jeden, lecz dwa nie mostkujące atomy tlenu. Zarówno w okresie rzymskim, jak i później produkcja szkła odbywała się w procesie składającym się z dwóch zasadniczych etapów. W pierwszym – drobiazno zmielona mieszanka surowców (krzemionka, węglany metali alkalicznych oraz węglany metali ziem alkalicznych) poddawana była procesowi kalcynowania w piecu płomiennym w temperaturze około 800°C, w celu uzyskania tak zwanej „fraty”. W etapie drugim, w oddzielonym piecu i w temper-



Fragment szklanego naczynia rzymskiego wykazujący takie zjawiska korozjne jak zmatowienie i wżery.
Glass fragment of Roman vessel showing dulling and pitting corrosion phenomena.



Fragment szkła pokryty licznymi wżerami oraz opalizującą skorupą zwiastreniową.
Heavily pitted and iridescent weathering crust of glass fragment.

Powierzchnia szkła pokryta wżerami oraz skorupą, wykazującą jednocześnie cechy zwietrzeniowej skorupy biologicznej oraz wietrzenia szklistego.

Pitted and crusted surface, presenting also biological and enamel like weathering crusts.



temperaturze wynoszącej 1000-1100°C. odbywało się topienie frły, zmieszanej ze związkami barwiącymi oraz substancjami zmieniającymi.

Główna cechą charakterystyczną szkła rzymskich jest rodzaj dodanego metalu alkalicznego. Jako główny modyfikator szkła, szkła rzymskie zawierają bowiem sól, podczas gdy szkła średniowieczne potas.

Głównymi surowcami używanymi do produkcji szkła rzymskich był piasek rzeczny lub morski oraz natron, czyli soda naturalna. Piasek, czyli substancja szkłotwórcza, zawiera głównie krzemionkę (SiO_4) oraz pewne ilości węglanów metali ziem alkalicznych, takich jak węglan wapniowy (CaCO_3). Zarówno działanie węglanu wapniowego (stabilizator szkła), jak i korzyści dla właściwości szkła wynikające z jego użycia zostały jednak w pełni zrozumiane, np. w ostatnich stuleciach.

Jak zostało dowiedzione za pomocą przeprowadzanych w ostatnich latach analiz piasku używanego jako surowca, zawiera on fakty ilości węglanu wapnia, które są optymalne z punktu widzenia produkcji szkła. Natron, który zawiera głównie

węglan sodowy (Na_2CO_3), dodawano jako źródło metali alkalicznych. Innym możliwym źródłem sodu czy sody był popiół roślinny. Na obszarach śródziemnomorskich bogaty w sól popiół wywieranego był zazwyczaj w procesie kalcynowania roślin rosnących na wybrzeżach, które to rośliny zawierały węglany sodowy oraz wapniowy, jak również niewielkie ilości potasu, magnezu, itp. (Vertes M., 2000).

Jednym z największych osiągnięć okresu rzymskiego było wynalezienie procesu dmuchania szkła. Dmuchanie szkła stanowiło wynik rozwoju technologii tego materiału i przyniosło ono rewolucję w dziedzinie tworzenia naczyń oraz technik dekoracyjnych. Wprowadzenie tej nowej technologii spowodowało wzrost liczby, różnorodności oraz ilości różnych form obiektów szklanych.

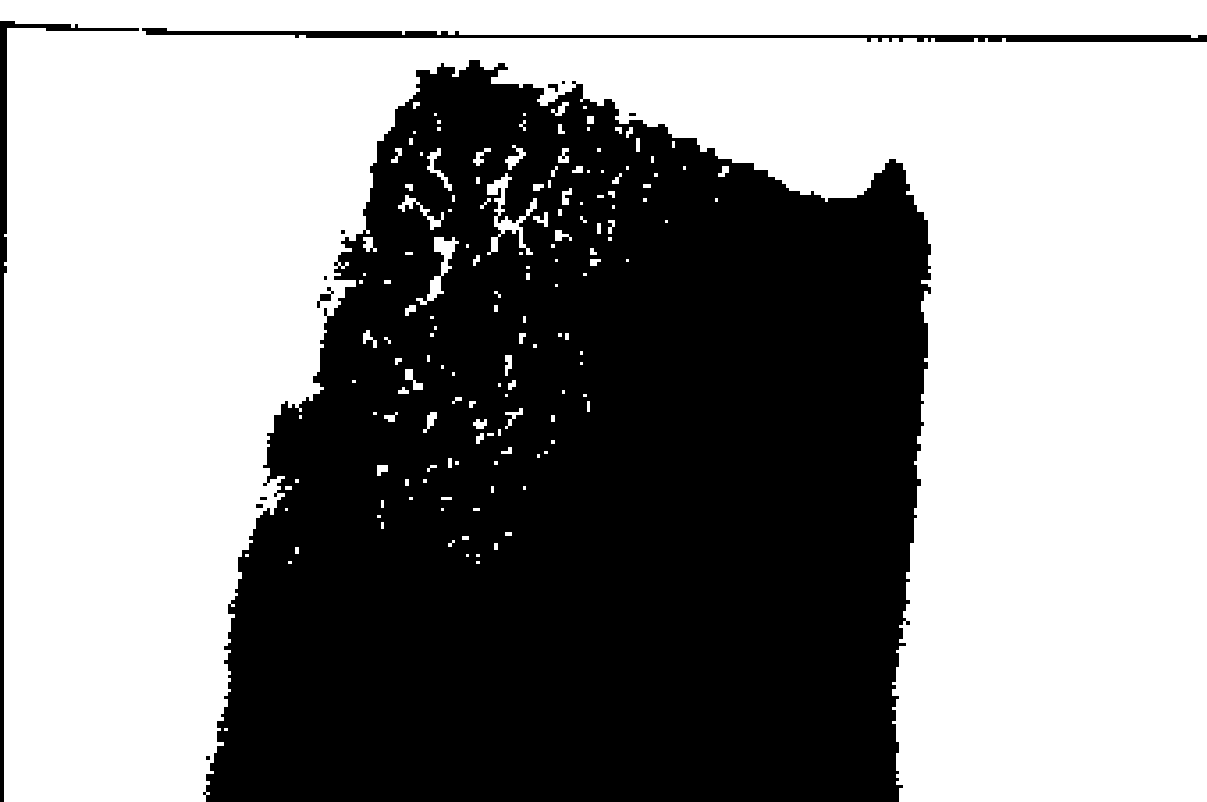
Deterioracja szkła

Pomimo, iż szkło uważane jest za produkt chemicznie stabilny, szklane wykopaliska wykazują

ewidentne oznaki wpływu na nie środowiska. Deterioracja szkła wykopaliskowych jest zjawiskiem niezwykle skomplikowanym. Głównymi czynnikami wpływającymi na warunki zachowania szkła są z jednej strony jego skład (czynnik endogenny), z drugiej zaś warunki zdelegowania (czynnik egzogenny), takie jak temperatura, wilgotność względna (RH%), odczyn pH gleby, ilość szkła na jednostkę objętości cieczy oraz obecność mikroorganizmów (Newton, 1985; Wronowa E.J.; Stoch L.; 1996).

Zasadniczym czynnikiem powodującym deteriorację szkła, który ma wpływ na warunki jego przechowywania jest woda. W czasie, kiedy szkło zalega w ziemi, pomiędzy wodami gruntownymi a powierzchnią szkła zachodzą skomplikowane reakcje powodujące istotne zmiany na jego powierzchni. Głównymi czynnikami, wpływającymi na odporność powierzchni szkła na działanie wody lub też innych roztworów wodnych (kwasowych czy zasadowych), są: skład chemiczny różnych rodzajów szkła oraz odczyn pH roztworu korozycyjnego.

Przedstawione poniżej oddziaływanie pomiędzy szkłem a wodą badano i usiłowało opisać już wielu badaczy (Lyle, 1943; Rana i Douglas, 1961;



Powierzchnia szkła pokryta wżerami oraz skorupą.

Pitted and crusted glass surface.

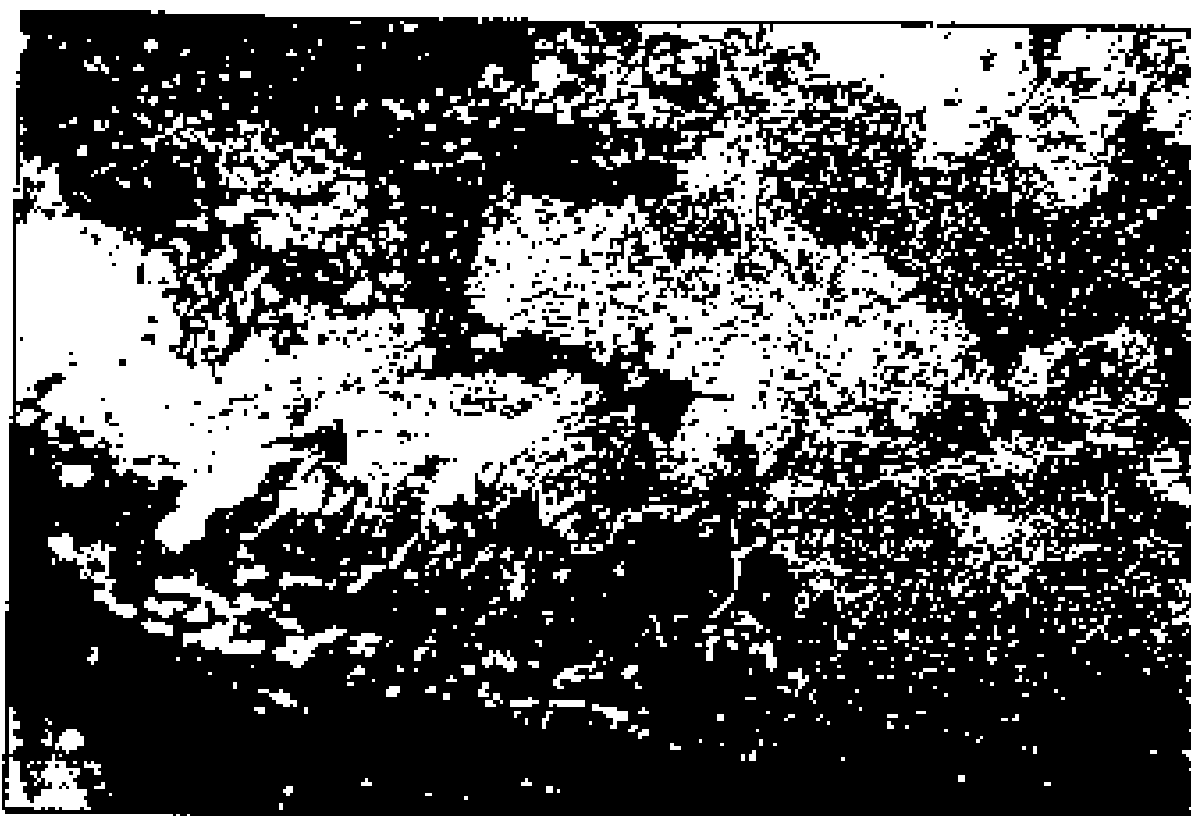


Szczegół naczynia rzymskiego, wykazujący ciemną zwietrzeniową skorupę zewnętrzną oraz różnorodne warstwy zarówno opalizujące, jak i typu wżerowego.

Detail of Roman vessel, presenting an external dark weathering crust and a variety of iridescent and pitted layers.



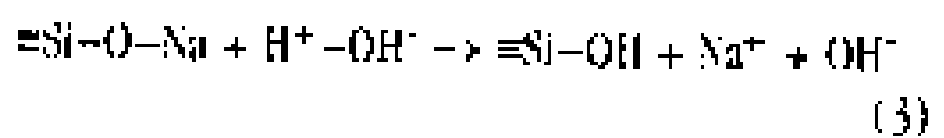
Fragment szkła z lokalnie zachowaną grubą skorupą zwietrzeniową złożoną z warstw opalizujących.
Glass fragment locally preserving a thick weathering crust of iridescent layers.



Opalizujące warstwy zwietrzeniowe oglądane pod mikroskopem stereoskopowym.
Iridescent weathering layers under stereomicroscope.

El Shazly i współpracownicy, 1972; Charles, 1958; Brinsberger, 1980). I mimo, iż wszyscy zgodnie twierdzą, że model opisujący deteriorację szkła nie jest prosty, to za podstawę szeroko dziś akceptowanego mechanizmu opisującego oddziaływanie szkła z roztworami wodnymi, powszechnie uznawany jest schemat reakcji zaproponowany w roku 1958 przez Charles'a.

Doszedł on do wniosku, że reakcja ataku wody na szkło tworzące moźliwy być za reakcję wynikną jonej (lugowania) pomiędzy strukturą alkalicznych ugrupowań kationów w szkle, a jonom H^+ wody (spójrz schemat reakcji 3):



Powyższy schemat przedstawia typ reakcji hydrolyzy soli słabego kwasu. Prędkość reakcji lugowania stopniowo ulega zmniejszeniu z powodu tworzenia się, jako powłoki ochronnej, warstwy bogatej w uwodnioną krzemionkę.

Jony hydroksylowe, powstające w przedstawionej powyżej reakcji, podwyższają odczyn pH roztworu atakującego. Wraz ze wzrostem pH jony hydroksylowe mogą zacząć atakować i niszczyć wiązania Si-O-Si, zamieniając mostkujące atomy tlenu

w ugrupowania niemoślikujące i naruszając tym samym całą sieć (Pollard M.A., Heron C., 1996; Verita M., 2000):



W tym przypadku nie tworzy się warstwa ochronna, zaś roztwór alkaliczny może penetrować sieć i reagować z nią bez zatrócenia. Utworzony w powyższej reakcji niemoślikujący ion tlenuowy może następnie powodować dysocjację kolejnej cząsteczki wody (reakcja 5):



Wynarzane w powyższej reakcji jony hydroksylowe ulegają akumulacji w warstwie korozjowej, podwyższając tym samym odczyn pH roztworu atakującego i przyspieszając proces roztwarzania sieci, zgodnie z równaniem reakcji (4). Przedstawione powyżej równania reakcji wyjaśniają, dlaczego korozja szkła przebiega szybciej w roztworach zasadowych.

Innym ważnym czynnikiem powodującym deteriorację szkła wykopaliskowych jest powszechnie występujące porastanie mikroorganizmami takimi jak mchy, porosty czy algi, które na powierzchni

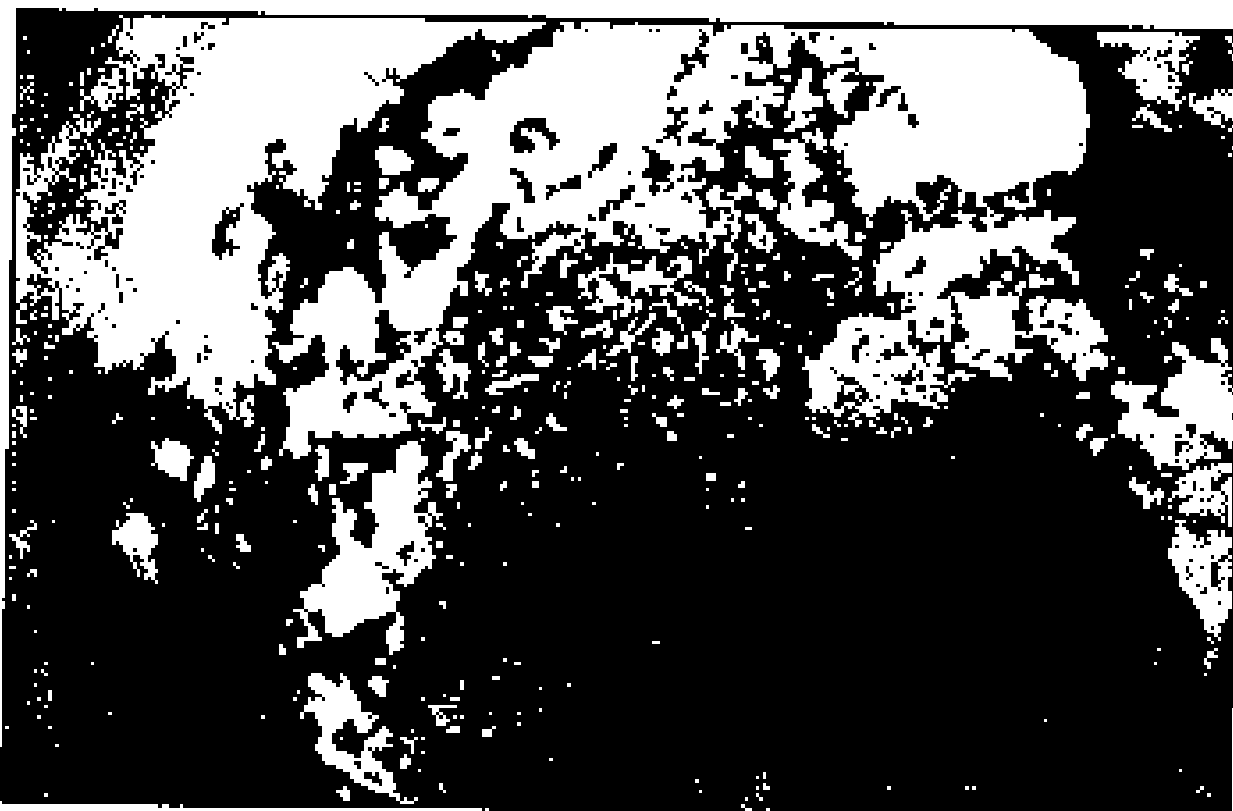
szkła tworzą powłokę biologiczną. Ich obecność poza efektem estetycznym, wpływa na warunki zachowania obiektów, utrzymując lokalnie wilgoć, wraz ze zwiększoną ilością dwutlenku węgla będącego produktem oddychania mikroorganizmów. Dodatkowo produkty eliminacji, które zazwyczaj mają odczyn zasadowy, przyspieszają proces chemicznego roztwarzania powierzchni szkła. (Krumbein W. i współpracownicy, 1995).

Dwie główne kategorie szkła, rozróżnialne na podstawie swego składu, stanowią szkła rzymskie oraz szkła średniowieczne. Właśnie doskonale, że trwałość czy odporność obiektów szklanych na działań korozjowych roztworów wodnych jest ścisłe związana z ich składem, w szczególności zaś z rodzajem i także z zawartością różnych składników alkalicznych. Rana i Douglas (Rana M.A. i Douglas R.W., 1961a, 1961b) badali szybkość ekstrahowania poszczególnych składników ze szkłem typu sodowo-wapniowego oraz typu potasowo-wapniowego i stwierdzili, że szybkość ekstrakcji potasu ze szkła potasowych jest zawsze większa niż szybkość ekstrakcji sodu z odpowiadających im szkłach sodowych.

Morfologia korozji wykopaliskowych szkła rzymskich

W przypadku szkła archeologicznych, proces ichniszczenia znany jest powszechnie jako „wietrzenie”, zaś zniszczone obszary określa się terminem „nałotów zwietrzeniowych” (Cronyn J., 1990). Wpływ wietrzenia na zachowanie szkła odbywać się może w dwóch, zasadniczo różniących się od siebie stanach: w stanie dynamicznym lub w stanie statycznym. Pierwszy z tych stanów faworyzuje reakcje lugowania, oddziaływanie z całą powierzchnią, podczas gdy w drugim, na pierwszy plan wysuwają się reakcje korozji, które rozpoczynają się w mikrodefektach powierzchni. (Clark D. Ortiz i współpracownicy, 1979).

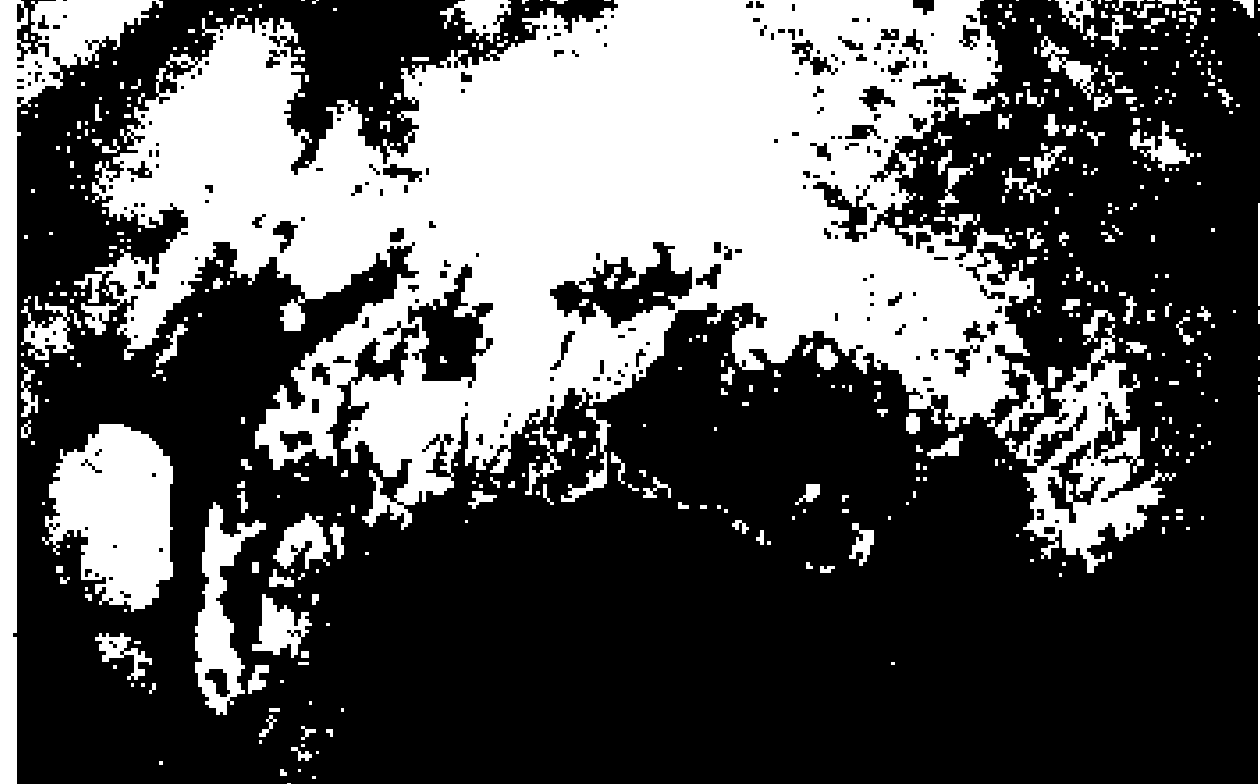
W następnych ustępach zostanie przedstawiona, a także szeroko przedyskutowana, morfologię korozji oraz podstawowe admisje wizualne powierzchni



Opalizująca oraz rozwartwiona skorupa zwietrzeniowa.
Iridescent and laminated weathering crust.



Fragment całkowicie zwietrzalego i rozwartwionego naczynia szklanego, lokalnie wykazującego skorupę biologiczną.
Glass vessel fragment totally weathered and laminated, presenting locally biological crust.



Rozwarstwiona oraz opalizująca, zniszczona powierzchnia szklanego naczynia, charakteryzująca się eksfoliacją zwietrzalych warstw.
Laminated and iridescent decayed surface of glass vessel, presenting exfoliation of weathering layers.

typowych rzymskich naczyń szklanych, odkopanych w Grecji. Mimo, iż szkła rzymskie (szkła typu sodowo-wapniowego) wydają się być trwałe, to jednak w zależności od technologii ich wywarzania, historii termicznej, warunków oraz czasu przebywania pod ziemią wykazują one wielką różnorodność stanu zachowania, zaś morfologia ich „niedotów zwietrzeniowych” jest całkiem różna.

Podstawowym efektem oddziaływanego środowiska na „zmarzające się pod ziemią” obiekty szklane jest zmatowienie ich pierwotnej powierzchni. Jak już zostało to przedstawione powyżej, ze szkła pozostającego w kontakcie z wilgotną glebą wyługowywane zostają jony alkaliczne. Na powierzchni tworzy się bardzo cienka warstwa uwodniona, a w wyniku jej działania szkło traci swoją przeźroczystość i staje się półprzeźroczyste. Szkła o dużej zawartości metali alkalicznych i o malej zawartości tlenku wapniowego, i tej w ogóle nie zawierającej tego tlenku, wykazują dużą podatność na hugowanie.

Rysy na powierzchni szkła mogą spowodować podobny efekt, mimo iż stanowią one zupełnie inne zjawisko. Zarówno drobne rysy jak i pęknięcia naprężeniowe mają wielki wpływ na właściwości optyczne szkła i mogą w znacznym stopniu obniżyć jego przeźroczystość. Pierwotna klarowność obiektów szklanych znika, zaś w jej miejsce pojawia się wygląd zmatowiały. Taką sieć drobnych zadrapań lub rysów zauważać można pod mikroskopem.

Sar. określenie „pękanie naprężeniowe” odnosi się do wielkiej liczby małeńkich pęknięć, biegących przez szkło we wszystkich kierunkach, które nadają szkłu „cukrowaty” wygląd, docelowo zaś powodują dezintegrację naczynia. Zjawisko to może być prawdopodobnie tłumaczone odwodnieniem szkła zawierającego wodór (Newton R., Davison S., 1989).

Oprócz defektów optycznych, pociągająco drobne zmiany mogą również prowadzić do dalszych, i.e. korozjowych, takich jak tworzenie się głębokich rowków lub też samoistne pękanie szkła. Samoistne pękanie rzymskich szkł wykopaliskowych stanowi rzadkie, lecz dobrze znane zjawisko, na które wydają się składać trzy, co najmniej, oddzielne przyczyny. Rowki powstają w wyniku przypieszonej korozji pod powierzchnią rys, które

penetrują zazwyczaj objętość szkła. W tych rejonach powierzchnia szkła oglądana pod mikroskopem wygląda tak, jakby była popękaną. Geilmann (1960) wykazał, że stare rysy na powierzchni szkła zapoczątkowują głębszą postać korozji, która nie występuje w szkle pozbawionym zniszczeń.

Mimo, iż najczęściej występującym zjawiskiem zwietrzenia jest tworzenie się wzorów, zarówno przyczyny jak i mechanizm ich powstawania nie są do tej pory całkowicie poznane. Różne teorie dotyczące tworzenia się na powierzchni szkła obszarów zwierających wzory odwodzą się do procesów dewitryfikacji, różnych rodzajów wirujących (ziarenka piasku, bąbelki powietrza, zamieczyszczenia, etc.), defektów powierzchniowych, a także do charakterystyki składu szkła. Jak dotąd nie istnieje jednak jedna teoria, która mogłaby w pełni wyjaśnić mechanizm tworzenia się wzorów, powody dla których posiadają one kształt cylindryczny, różnorodność ich rozmiarów jak również wiele innych, związanych z nimi faktów. Jeżeli chodzi o rozmiary wzorów, łatwo można je podzielić na następujące kategorie: mikrowzory występujące w dużym zagromadzeniu o bardzo małych rozmiarach (o średnicy do 0,2 mm), wzory małe o wymiarach 0,5 do 2,0 mm, wzory duże o wymiarach 2,0 do 4,0 mm oraz wzory bardzo duże o wymiarach powyżej 4,0 mm. Utworzone wzory mogą być całkowicie puste, mogą też zawierać produkty rozkładu, jak również mogą być związane z obszarami zeskupiającymi.

Obszary zeskupiające stanowią wynik naniesienia na powłokę wietrzeniową szkła, a następnie zeskupienia, nierozpuszczalnych soli, głównie hugowanego ze szkła tlenku wapniowego, powodujących jego kompletnego zmatowienie. Do niedawna jeszcze procesy deterioracji szkła, odbywające się na drodze tworzenia wzorów oraz zeskupienia uważały się za zupełnie nie związane ze sobą zjawiska. Dzisiaj wydaje się prawdopodobne, że tworzenie wzorów posiada ściśly związek z procesami skupienia oraz że poprzedza ono te procesy (Newton R. i Davison S., 1989).

Ciemną barwę powstającą w ziemi „skorupy zwietrzeniowej” tłumaczyć można wyrażaniem się w skorupie związków żelaza oraz manganu. Dodatkowo, odbarwienie szkła wykopaliskowych

może być spowodowane utlenieniem zawartych w nich związków, głównie tlenków metali, stosowanych jako substancje barwiące. Dla przykładu, utlenienie tlenku żelazowego do trójtlenku żelaza może spowodować zmianę zabarwienia szkła z zielonkawej na żółtą lub brązową.

Opalizacja szkła odnosi się do zmiennej barwy powierzchni szkła zniszczonej w taki sposób, że składa się ona z dużej liczby bardzo cienkich zwietrzalych warstw, dających w sumie efekt barwy zarówno w świetle odbitym, jak i w świetle przechodzącym (Caley R., 1962).

Tam, gdzie zjawisko to występuje samodzielnie, jest ono najpierw obserwowane w postaci występujących obszarów warstwowych. W bardziej zaawansowanym stanie obszary te zaczynają się zlązać, by w fazie końcowej przejść do całkowitej dezintegracji aż do postaci proszku (Newton R. i Davison S., 1989).

Typowy proces wietrzenia szkła prowadzi zazwyczaj do powstania zruszczonych obszarów na powierzchni szkła, utworzonych przez pewną liczbę warstw zwietrzeniowych (laminacja szkła). Dokładne badanie tych warstw wykazuje, że składają się one zwiększej liczby cienkich warstw, które mogą do siebie przylegać, penetrując całą objętość materiału, mogą też występować na powierzchni i zlązać się (Caley R., 1962).

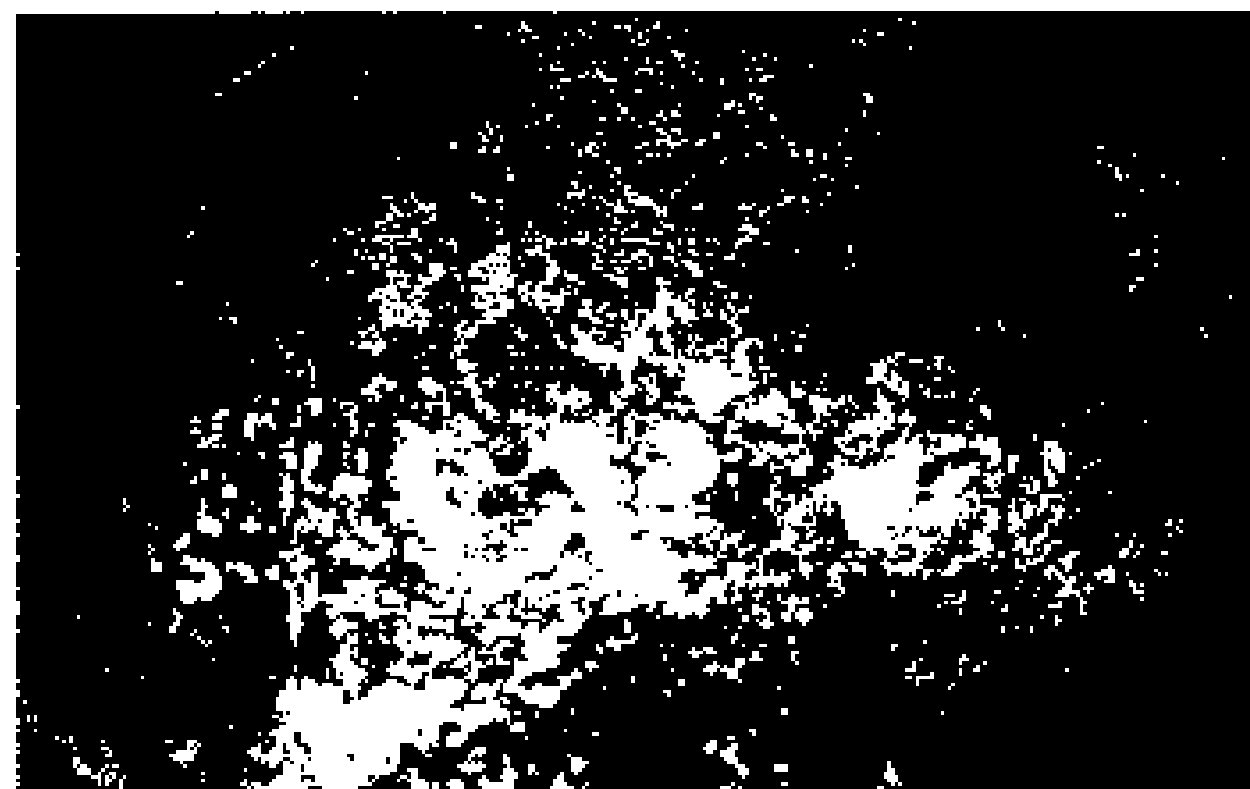
Ponieważ warstwy te są wysoce uwodnione, przy zmianach wilgotności mogą one kurczyć się i rozszerzać, powodując tym samym eksfoliację (Cronyn J., 1990).

Okreslenie wietrzenie mleczne lub szkliste odnosi się do białych, nieprzeźroczystych plam czy też smug na powierzchni szkła, stopniowo wnikających w jego głąb. W swych bardziej zjadliwych postaciach może ono przybrać barwę ciemną (brązową lub czarną), a nawet wygląd wielobarwny. Na etapie poczynkowym ma ono wygląd przypominający drobne plamki czy też kreski i może łatwo być pomylone z kamieniem. Zasadniczą różnicę pomiędzy tymi dwoma defektami stanowi fakt, że plamy wietrzeniowe zawsze biorą swój początek na powierzchni, zaś grudki kamienia mogą występować zarówno wewnątrz, jak i na zewnątrz materiału.

W swej najbardziej ekstremalnej postaci, wietrze-

nie szkliste pojawia się jako gruba powłoka barwy od białej do brązowej, zalegająca duże pole na powierzchni obiektu. Wykazuje ono również tendencję do tworzenia opalizujących w głębiach, zaś w przypadkach krańcowych może ulec pękaniu, tworząc wzór w postaci mozaiki (Newton R. i Davison S., 1989).

Wreszcie w przypadkach ekstremalnych, w znacznym stopniu zniszczone szkło przetrwać może w postaci kredowej masy żelu krzemionkowego, trudnej do zidentyfikowania jako szkło (utracona charakterystyka szklistego).



Opalizująca powierzchnia szkła z wżerami.
Pitted and iridescent glass surface.

Dyskusja

Podsumowując powyższe rozważania stwierdzić można, że wpływ różnych czynników powodujących deteriorację szkła jest ściśle związany z jego składem. Ogromne znaczenie, jeżeli chodzi o trwałość szkła i procesy lugowania metali alkalicznych, mają zarówno rodzaj jak i ilość zawartych w szkle tlenków alkalicznych, obecność ziem alkalicznych oraz zawartość krzemionki w jego sieci. Głównym czynnikiem środowiska naturalnego, wpływającym na korozję szkła, jest zaś obecność wody lub roztworów wodnych.

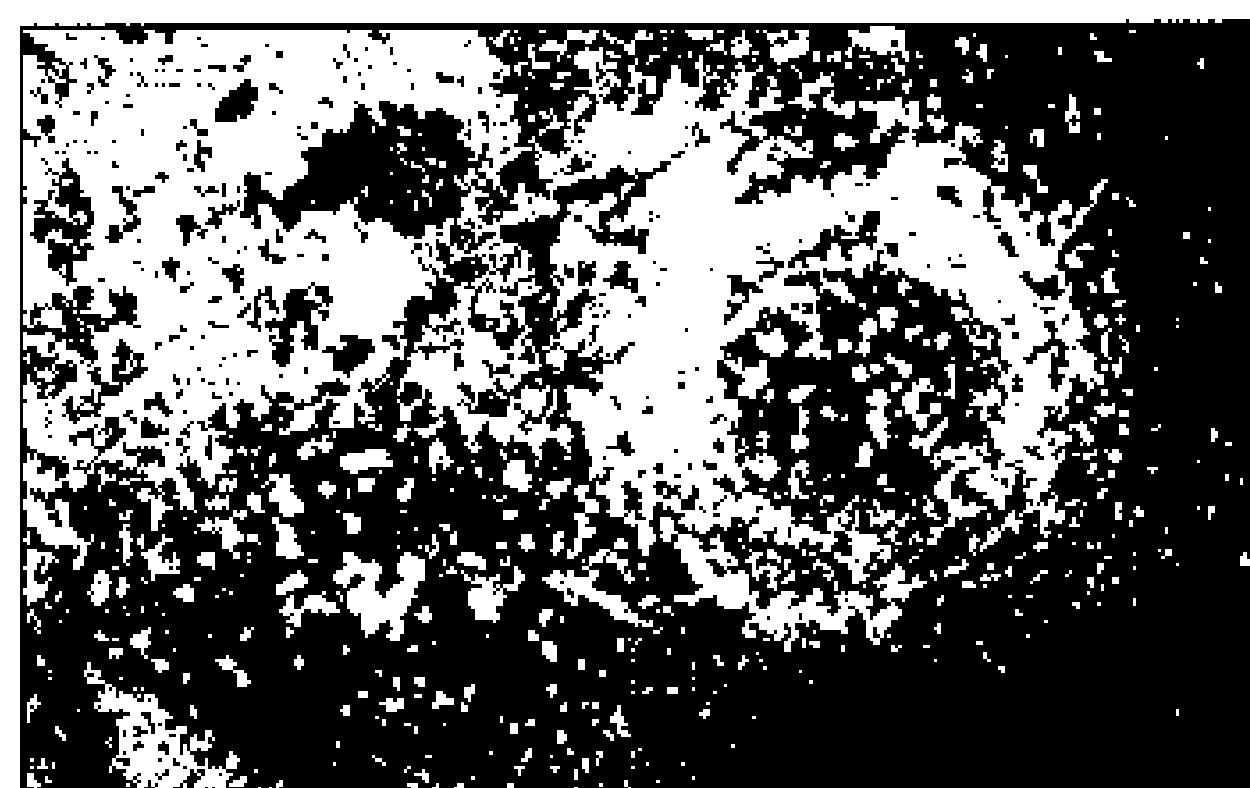
W zależności od technologii wytwarzania i zdobycia obiektów, jak również od czynników środowiskowych i czasu ich oddziaływanego na te obiekty, powierzchnia przedmiotów szklanych wykazuje różne typy morfologii korozyjnej.

Najbardziej typowymi zjawiskami wietrzenia szkła są jego laminacja warstwowa oraz powstawanie wżerów. Zarówno w pierwszym, jak i w drugim przypadku mechanizmy ich tworzenia nie są jeszcze dostatecznie poznane.

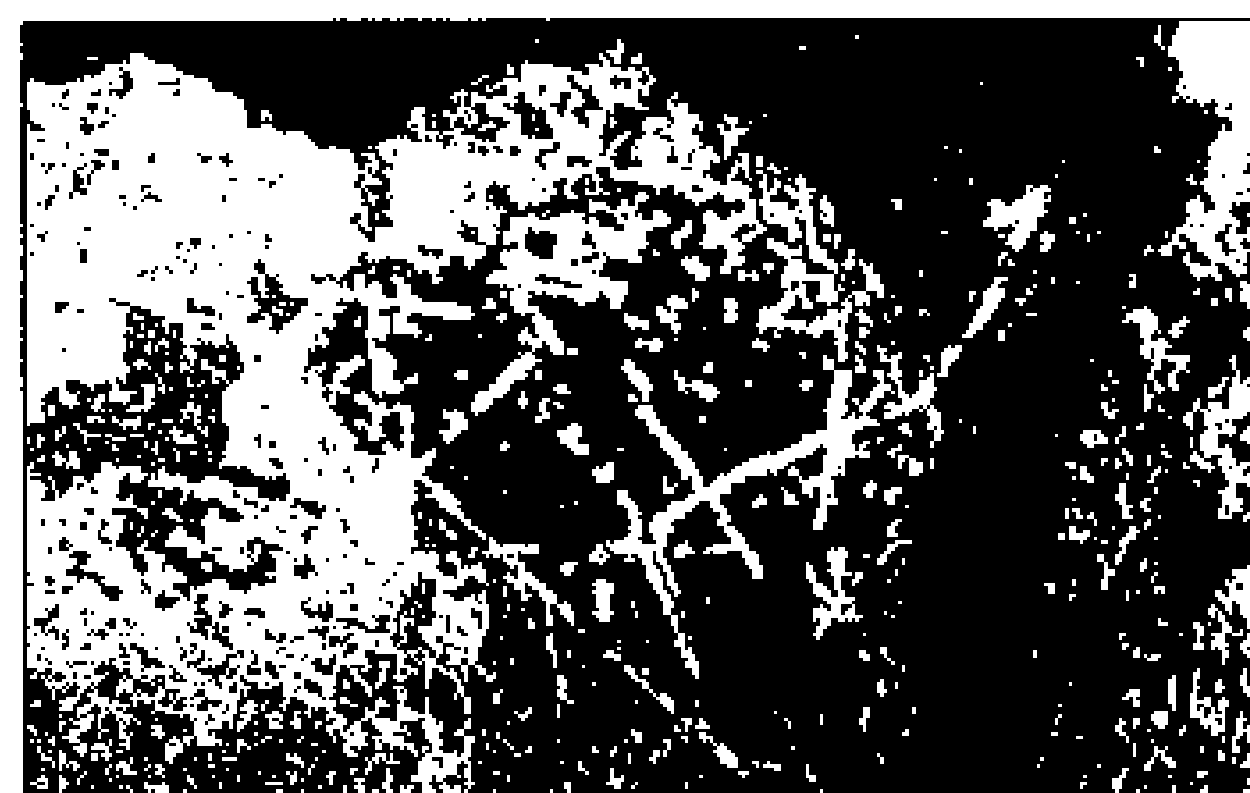
Na zakończenie należy podkreślić, że procesy deterioracji szkła nie ustają po jego wykopaniu i konserwacji i mogą postępować dalej nawet w warunkach muzealnych. Z tego właśnie powodu osoby odpowiedzialne za konserwację szkła muszą zwracać szczególną uwagę na warunki środowiska, zarówno na ekspozycjach, jak i w pomieszczeniach magazynowych.

Literatura

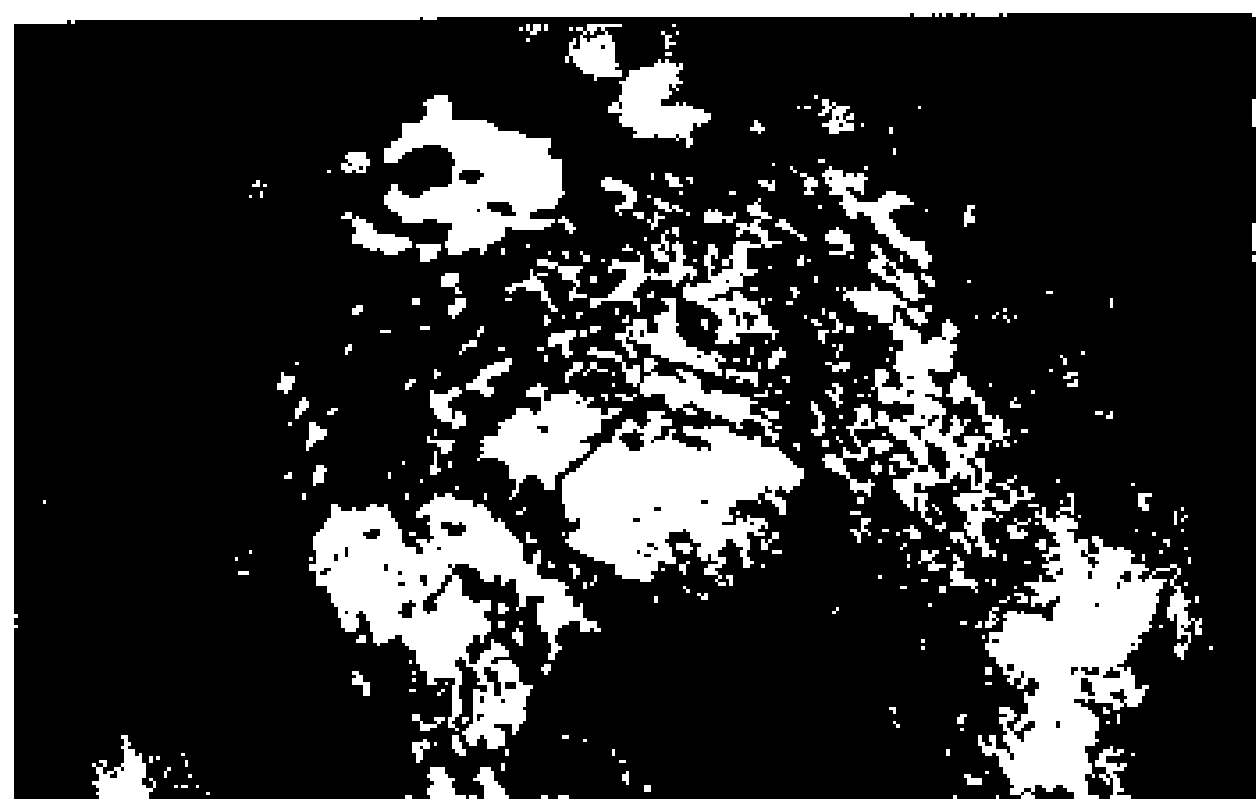
1. Charles, 1958, Static fatigue in glass, I (Zmęczenie statyczne w szkle), *Journal of Applied Physics*, 29, s. 1549-1553.
2. Clark D.E., Pantano G.G., Ullench L.L., 1979, Corrosion of glass (Koroza szkła), Magazines for Industry Inc., New York, s. 1-52; Caley E.R., Analysis of Ancient Glass 1790-1975 (Analiza szkła zabytkowego 1790-1975), tom 1, Corning Museum of Glass.
3. El-Sayed T.M., Lewis J. I Douglas R.W., 1972, The dependence on the pH of decomposition of glass by aqueous solutions (Zależność dekompozycji szkła przez roztwory wodne od ich odczynu pH), *Glass Technology*, 13, s. 81-87.
4. Ernsberger E.M., 1980, The role of molecular water in



Powstawanie wżerów w skorupie zwietrzeniowej.
Pits formation in weathering crust.



Powstawanie wżerów i skorupy biologicznej na powierzchni szkła.
Pits formation and biological crust in glass surface.



Wykazujące opalizację oraz zeskorupienie warstwy zwietrzeniowe na rzymskim naczyniu szklanym.
Weathering layers of roman glass vessel, showing iridescence and encrustation.



Mleczne i opalizujące warstwy zwietrzeniowe.
Milky and iridescent weathering layers.



Mleczne i opalizujące warstwy zwietrzeniowe, lokalnie wykazujące powstawanie skorupy.
Milky and iridescent weathering layers, preserving locally crust formations.

- the diffusive transport of protons in glass (Rola cząsteczek wody w procesie dyfuzyjnego transportu protonów w szkle), Physics and Chemistry of Glasses, 21, s. 146-149
5. Greiner-Wronowa E., Stock L., Influence of environment on the surface of the ancient glasses (Wpływ środowiska na powierzchnię zabytkowych szkła), Journal of Non-Crystalline Solids, 196, s. 118-127.
6. Ilavac J., 1983, The technology of glass and ceramics (Technologia szkła i ceramiki) Wyd. Elsevier.
7. Krumbein W.E., Urai C.E., Germann C., 1995, Biocorrosion and biodeterioration of antique and medieval glass (Biokoroza i biodegeneracja szkła antycznych i średniowiecznych), Geomicrobiology Journal, 9, s. 136-160.
8. Lyle A.K., 1943, Theoretical aspects of chemical attack on glass by water (Teoretyczne aspekty ataku wody na szkło), Journal of American Ceramic Society, 26, s. 201-204.
9. Newton R., Davison S., 1989, Conservation of glass (Konservacja szkła), wyd. Butterworths.
10. Newton R.G., 1985, The durability of glass: a review (Trwałość szkła, przegląd literatury), Glass Technology, 26, s. 21-48.
11. Newton R.G., Werner M.E., 1974, Definition of the term "devinification" (Definicja terminu „dewinifikacja”), materiały okolicznościowe Bratysławskiej Akademii CVMA.
12. Paul A., 1977, Chemical durability of glass. Thermodynamic approach. (Trwałość chemiczną szkła. Podanie termodynamiczne), Journal of Materials Science, 12, s. 2246-2268.
13. Paul A., 1982, Chemistry of glasses (Chemia szkła), wyd. Chapman and Hall.
14. Pollard Mark A., Heron C., 1996, The chemistry and corrosion of archaeological glass (Chemia i korozja szkła w archeologii) [w:] Archeological Chemistry (Chemia w archeologii), wyd. Royal Society of Chemistry, str. 149-195.
15. Rana M.A. i Douglas R.W., 1961a, The reaction between glass and water. Part 1. Experimental methods and observations (Reakcja szkła z wodą. Część 1. Metody doświadczalne oraz obserwacje), Physics and Chemistry of Glasses, 2, s. 179-195.
16. Rana M.A. i Douglas R.W., 1961b, The reaction between glass and water. Part 2. Discussion of the results (Reakcja szkła z wodą. Część 2. Dyskusja wyników), Physics and Chemistry of Glasses, 2, s. 196-205.
17. Chlmann D.R. i Kolbeck A.G., 1976, Phase separation and the revolution in concepts of glass structure (Separacja faz oraz rewolucja w poglądach na strukturę szkła), Physics and Chemistry of Glasses, 17, str. 147-157.
18. Verter M., 2010, Technology and deterioration of vitreous mosaic tesserae (Technologia oraz deterioracja szklanych mozaik awaryjskich). Review in Conservation, 1, s. 65-76.
19. Kontou E., Kotzamanis D., Lampropoulos V., 1995, Glass, Technology, Deterioration and Conservation (Szkło, jego technologia, deterioracja oraz konserwacja), Atene.
20. Lampropoulos V., Kalgori A., Valsamis I., 2004, An attempt to face the problem of iridescence on archaeological glass (Próba zmierzenia się z problemem opalizacji szkła archeologicznych), w materiałach konferencyjnych pierwszej międzynarodowej konferencji zorganizowanej „Hyalos – Vitrum – Glass. History, Technology and Conservation of Glass and Vitreous Materials in the Hellenic Area” („Hyalos – vitrum – szkło, historia, technologia oraz konserwacja szkła i materiałów szklistych na obszarze hellejskim”), Rodos 1 – 4 kwietnia (w druku).

In the Nature and Corrosion Morphology of Excavated Roman Glass from the East Mediterranean Basin

by Vassilios Lampropoulos*

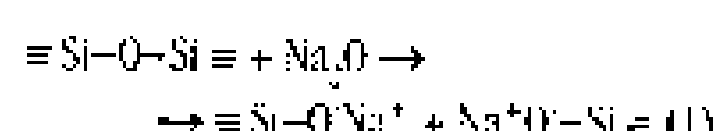
Dorota Nowicka, Ioannis Karatasos

Glass is an amorphous, solid material, obtained by melting crystalline minerals. The structure and the definition of glass has been for many years a challenging area of research for physical chemists. The definition of glass given for by the American Society for Testing Materials (ASTME) : 'Glass is an inorganic product of fusion which has cooled to a rigid condition without crystallizing'. is sufficient enough for the archaeological purposes (Pollard M. A., Heron C., 1996).

The main difference between a crystalline and a vitreous solid is in the transition from the solid to the liquid state and vice versa. In a crystalline solid it occurs instantaneously at a well-defined temperature (melting temperature), whereas in glass it occurs progressively in a range of temperatures called the glass transition range, where the material changes from complete rigidity to a state of decreasing viscosity (Verita M., 2000).

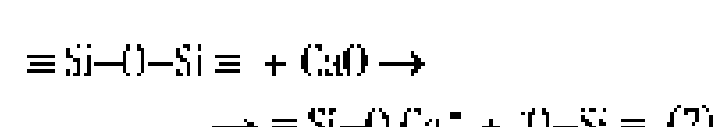
Glass is usually composed of silica, SiO_2 (network former), in the form of a random network of chains composed of oxygen and silicon. Each oxygen atom is shared by two silicon atoms and the glass is built up by the sharing of the corners by pairs of "oxygen tetrahedra". The structure of the pure silica is very open and has many "holes" which the ions of alkali oxides, Na_2O and K_2O (network modifiers), and alkaline earth oxides, CaO and MgO (network stabilizers), can fill.

When an alkali (sodium, potassium, etc.) is added to silica, the network continuity partially breaks down and the Si-O-Si bonds are modified into two Si-O- units:



The bonds formed now between cations and silicon are weaker than the silicon oxygen bond. The breakdown of the network at several points weakens it and affects the properties of the glass. In particular, viscosity at high temperatures decreases, thus allowing the glass to be melted at lower temperatures than those of pure silica (Verita M., 2000).

The addition of an alkaline earth into the glass structure can be described as follows:



The Ca-O bond is stronger than the Na-O bond because of the valence 2 of the calcium ion, as the two non-bridging oxygen atoms are both linked to the cation.

During the Roman period and up to recent centuries, glass production was carried out in two main phases. Firstly, a finely ground mixture of the raw materials (silica, alkaline and alkaline earth carbonates) was calcinated in a reverberatory furnace around 800°C to obtain the „frit”. Secondly, the melting of the frit was carried out in another furnace, where the frit was mixed with colouring compounds and/or opacifiers, at about 1000-1100°C.

The main characteristic of Roman glasses is the type of alkali contained. Roman glasses contain sodium (Na_2O) as main network modifier, while Medieval glasses contain potassium (K_2O) instead of sodium.

The main raw materials used for the production of Roman glass were river or sea sand and natron. Sand, the siltying agent, consisted mainly of silica (SiO_2) and some quantities of alkaline earths like calcium carbonate (CaCO_3). The effects and benefits of calcium carbonate to the properties of glass (network stabilizer) were fully understood only during recent centuries.

As it is proved by recent analysis of the sand used as raw material, it contains calcium carbonate in optimum quantities for glass making. Natron was added as a source of alkalis, as it mainly consists of sodium carbonate (Na_2CO_3). Another possible source of sodium or soda was vegetable ash. In the Mediterranean area soda-rich ash was usually obtained by calcination of coastal plants, which contained sodium and calcium carbonate in addition to some small quantities of potassium, magnesium etc. (Verita M., 2000).

One of the most important inventions of the Roman period was the technique of glass blowing. Glass blowing was the result of the development of glass production and brought a revolution in manufacture and decoration techniques. The new technique caused an increase in the variety, shape and number of glass artefacts.

Glass Deterioration

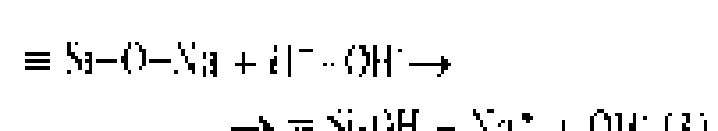
Even though glass is regarded as

a chemically stable product, excavated glass artefacts show clear evidence of environmental influence. The deterioration of archaeological glasses is a complex phenomenon. The main factors affecting glass preservation condition are the composition (endogenous) and the burial conditions (exogenous) such as temperature, relative humidity (RH%), the pH of the soil the glass per unit volume of the liquid and the presence of micro-organisms (Newton, 1985; Wronowa E. and Stoch L., 1996).

Water is the primary deterioration agent that affects the preservation condition of glass. During the burial period of glass, a complicated chemical interaction between groundwater and glass surface takes place causing surface alterations and transformations. The main factors that affect the resistance of the glass surface to the attack of water and other aqueous acidic or basic solutions are the chemical composition of different types of glass and the pH of the corrosive solution.

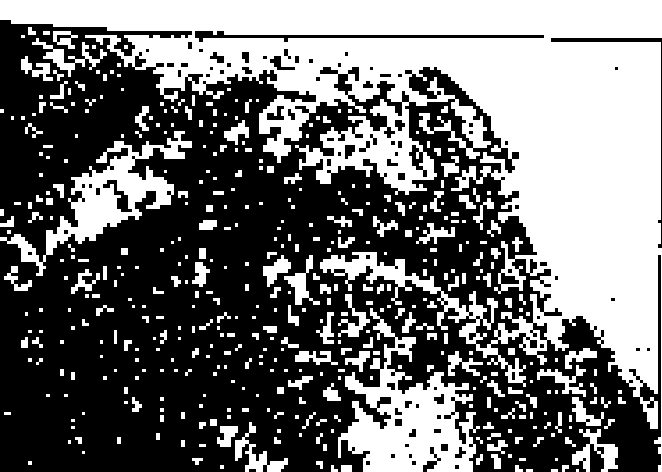
Many researchers have studied and tried to describe the above reactions taking place between glass and water (Lyle, 1948; Renu and Douglass, 1991; El Shami et al., 1972; Charles, 1958; Enzberger, 1986). Even though all researchers agree that the model, which describes the deterioration of glass is not at all simple, the basis of the currently accepted mechanism, which describes how glass is attacked by aqueous solutions, was proposed by Charles in 1958.

He concluded that glass being attacked by water can be regulated as a reaction of ion exchange (leaching) between the "terminal structure" of alkalis in the glass and H^+ ions in water (see reaction 3):

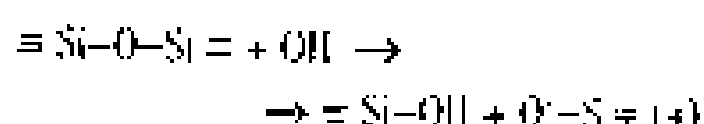


This reaction represents the hydrolysis of the salt of a weak acid. The velocity of the leaching reaction gradually slows down, due to the formation of a hydrated silica rich layer as a protective coating.

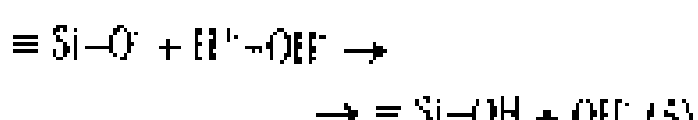
Hydroxyl ions, which are produced during the above reaction, increase the pH of the attacking solution. As pH increases, hydroxyl ion can then attack and destroy Si-O-Si bonds, converting a bridging oxygen into a non-bridging site, thus



disrupting the network (Pollard M. A., Heron C., 1990; Verita M., 2000).



In this case, no protective layer is formed and the alkaline solution can penetrate and react undisturbed. Thus, the non-bridging oxygen ion produced is now capable of dissociating another water molecule (reaction 5):



Hydroxyl ions produced during the above reaction accumulate in the corrosion layer, increasing the pH of the attacking solution and accelerating the dissolution of the network, according to the reaction (4). The above reactions explain why the corrosion of glass proceeds faster in basic solutions.

Organic growth is another deterioration agent that is very commonly apparent in excavated glasses. Microorganisms such as mosses, lichens, liverworts and algae form a biological crust on the glass surface. Their presence, apart from the aesthetic results, influences the preservation condition of artifacts as they can cause localized retention of moisture, with an increased concentration of carbonic acid as a result of the microorganisms' respiration. Additionally, elimination products, which are usually basic, accelerate chemical decomposition of the glass surface (Krause W. et al., 1995).

The two main categories of glasses, according to their composition, are Roman and Medieval.

It is well known that the durability or the resistance of glass artifacts to corrosive aqueous solutions is closely related to their composition and particularly to the type and the content of different alkalis. Rana and Douglas (1961a, 1961b), studied the rates of extraction of all components from soda-lime-silica and potash-lime-silica glasses in water and found that the rate of extraction of potash from potash glasses was always greater than the extraction rate of soda from the equivalent soda glass.

Corrosion morphology of excavated Roman glasses

In archaeological glasses the decay process is generally known as „weathering” and

the decayed areas as „weathering crusts” (Gronyn J., 1990). The effect of weathering on glass preservation occurs in two main states: dynamic and static. The first condition is conducive to leaching reactions and affects the whole surface, while the second promotes corrosion reactions, which begin in surface microdefects (Clark D. et al., 1979).

In the next paragraphs, the corrosion morphology and the main visual varieties appearing in some typical Roman glass vessels which were found in Greece, are presented and discussed. Even though Roman glasses (soda-lime-silica glasses) seem to be durable, depending on their production technology, firing history and burial environment and duration, they present a wide variety in their preservation condition, and the morphology of their weathering crusts differs.

The primary effect of the burial environment on glass artifacts is the dulling of their original surface. As has already been described, when glass is in contact with soil moisture, the alkalis ions are leached out. An initial, very thin, hydrated layer is formed on the surface and, as a result, the glass loses its natural transparency and becomes merely translucent. Glasses with a great amount of alkalis and small or no content of calcium oxide have a great tendency to leaching.

Scratches on the glass surface may also cause a similar result but these have a completely different cause. Slight and very fine scratches as well as strain cracks have a great influence on the optical properties of glass and they are able to diminish glass transparency. The original clarity of glass objects disappears and a lustreless appearance is displayed. This network of small scratches can be easily seen under the microscope.

The term „strain cracking” describes a condition where an infinite number of small cracks running right through the glass in all directions finally give it a sugary appearance and cause the vessel to disintegrate. This can probably be attributed to the dehydration of hydrogen glass (Newton R. and Davison S., 1989).

Apart from the optical defects, initial slight cracks may also result in further corrosion phenomena, such as deep grooves and spontaneous fracturing of glasses. The

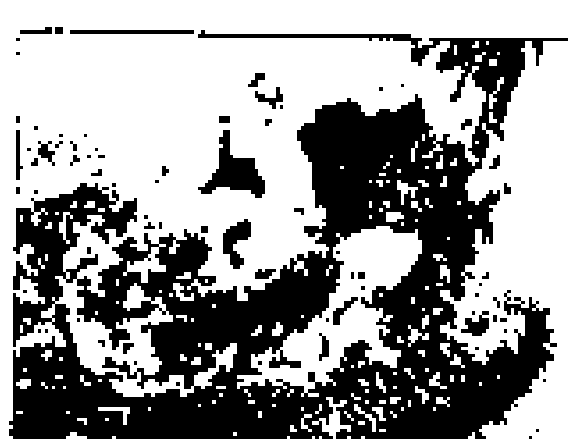
spontaneous fracturing of Roman excavated glasses is a rare but well-known phenomenon, where at least three separate effects seem to be involved. Grooves derive from the accelerated corrosion beneath surface scratches, which usually penetrate the glass body. In those areas, the glass surface, under a microscope, looks like as if it had been fractured. Gellmann (1960) showed that old cracks in a glass surface form the starting point for a deep form of corrosion which cannot occur on undamaged glass.

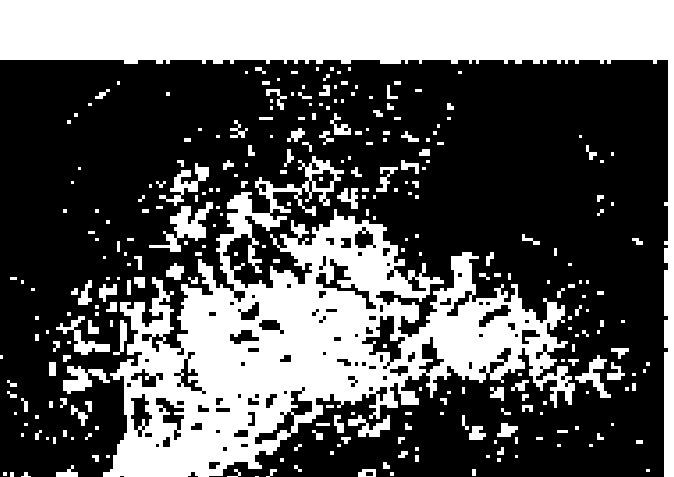
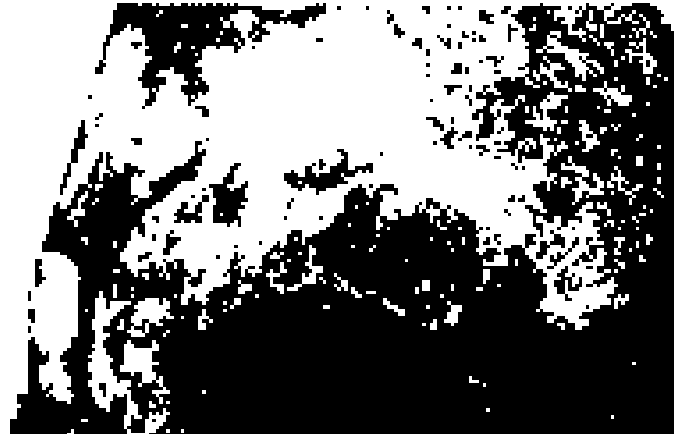
Although pitting seems to be the most frequently appeared weathering phenomenon the reasons and the mechanism of pit formation are not yet clearly determined. Different theories concerning the development of pitted areas in glass surface refer to devitrification phenomena, different types of inclusions (sand grains, air bubbles, impurities, etc.), surface defects and glass compositional characteristics. Today there is no theory that can fully describe the mechanism of pit formation, the reasons for the cylindrical shape of the pits, the variations in their size and many more features.

According to their size, pits may easily be divided into the following categories: Micropitting, where pits are very small (up to 0.2mm in diameter) and very crowded, small pits in the range 0.5-2.0mm, large pits in the range 2.0-4.0mm, and very large pits, larger than 4.0mm. The pits may be quite empty or contain deterioration products and very often they are linked to crusted areas.

Crusted areas result from the deposit and encrustation of insoluble salts, mainly of calcium oxide leached out of the glass on the glass weathering crust, which has become obscured. Until recently, the deterioration of glass by pitting and crusting was regarded as caused by two different phenomena. Now, it seems likely that pit development is closely related to crust formation and that pitting precedes crusting (Newton R. and Davison S., 1989).

The dark color of „weathering crusts” in soil can be attributed to the precipitation of iron and manganese compounds in the crusts. Additionally, discoloration of excavated glasses may be caused by the oxidation of their compounds, mainly of the metallic oxides used as coloring agents. For example, the oxidation of iron





oxide (FeO) to iron trioxide (Fe_2O_3) may cause a change in glass color from greenish to brownish or yellowish.

Iridescence refers to a variegated coloration of a decayed area of glass surface, which consists of a large number of very thin weathered layers, giving a polychrome effect both in reflected and transmitted light (Caley R., 1962).

When found alone it is first visible in milky patches. In more advance state it begins to flake off and, finally, it causes a powdery disintegration of the fragment owing to the continual flaking of the surface (Newton R. and Davison S., 1989).

The typical weathering process of glass usually leads to the formation of a decayed surface which is composed by a number of weathering layers (lamination). A closer examination of those layers shows that they consist of a greater number of thinner layers, which may adhere to one another and may penetrate the entire material or they may be lamellated and superficial (Caley R., 1962).

Since these layers are highly hydrated, if the humidity in the deposits fluctuates, they may shrink and expand, causing exfoliation (Cronyn J., 1990).

Milky or enamel-like weathering refers to white opaque patches or streaks on the glass surface, gradually penetrating into the glass core. In its more virulent forms it may have a dark color (brown or black) or even a "polychrome" appearance. In the initial stage, it looks like small spots or streaks; it is defined as milky weathering and may sometimes be confused with stone. The main difference between the two is that weathering patches always start on the surface, whereas blobs of stone may occur both internally and externally.

The most extreme form, the enamel-like weathering, appears as a thick coating varying in color from white to

brownish, over a large part of the entire surface of an object. This has also a tendency to create iridescent pits and in extreme cases, can crumble in a mosaic-like manner (Newton R. and Davison S., 1989).

Finally, in some extreme cases, in badly deteriorated glasses may be preserved as a chalky mass of silica gel and be difficult to identify as glass (loss of vitreous nature).

Conclusion

Summarising the above, it is clear that a survey of the effects of various deterioration agents on excavated glass reveals that they are closely related to the glass composition. The type and the amount of alkali oxides contained, the presence of alkaline earths and the ratio of silica in the glass network are of great importance to glass durability and the leaching process of alkalies. The main environmental factor affecting glass corrosion is the presence of water or any other aqueous solution.

Depending on the manufacture and decoration techniques of artifacts as well as the environmental factors and duration affecting glass objects, their surface presents different types of corrosion morphology.

Lamination and pitting are the most typical corrosion phenomena apparent on weathering crusts, although, the mechanism of their formation is not yet clearly defined.

Finally, it is important to notice that glass deterioration process can continue after its excavation and conservation, even in a museum environment. Thus, people involved in glass conservation should pay much attention to the environmental conditions both in exhibition and storage rooms.

Literature

- 1 Charles, 1955. Static fatigue in glass. I. Journal of Applied Physics, 29, pp. 1549-1553.
- 2 Clark D.E., Pantano C.G. and Hench L.L., 1979. Corrosion of glass. Magazines for Industry Inc., New York, pp. 1-52.
- 3 Caley E.R., 1962. Analysis of Ancient Glasses. 1790-1975, Vol. I, Corning Museum of glass.
- 4 El-Shamy T.M., Lewis J. and Douglas R.W., 1972. The dependence on the pH of decomposition of glass by aqueous solutions. Glass Technology, 13, pp. 81-87.
- 5 Ernsberger F.M., 1980. The role of molecular water in the diffusive transport of protons in glass. Physics and Chemistry of Glasses, 21, pp. 146-149.
- 6 Greiner-Wronowa E., Stoch L., 1996. Influence of environment on the surface of the ancient glasses. Journal of Non-Crystalline Solids, 196, pp. 118-127.
- 7 Hlavac J., 1983. The technology of glass and ceramics, Ed. Elsevier.
- 8 Krumbein W. E., Urzi C. E. and Germann C., 1995. Biocorrosion and biodeterioration of antique and medieval glass. Geomicrobiology Journal, 9, pp. 136-160.
- 9 Lyle A. K., 1943. Theoretical aspects of chemical attack of glass by water. Journal of American Ceramic Society, 26, pp. 201-204.
- 10 Newton R. G., 1985. The durability of glass: a review. Glass Technology, 26, pp. 21-38.
- 11 Newton R.G., Werner A.E., 1974. Definition of the term "Devitrification". British Academy OMA. Occasional papers
- 12 Paul A., 1977. Chemical durability of glass: Thermodynamic approach. Journal of Materials Science, 12, pp. 2246-2268.
- 13 Paul A., 1982. Chemistry of glasses. Ed. Chapman and Hall.
- 14 Pollard Mark A., Heron C., 1996. The chemistry and corrosion of archaeological glass, in Archaeological Chemistry, ed. The Royal Society of Chemistry, pp. 149-195.
- 15 Rana M. A. and Douglas R. W., 1961a. The reaction between glass and water. Part 1. Experimental methods and observations. Physics and Chemistry of Glasses, 2, pp. 179-195.
- 16 Rana M. A. and Douglas R. W., 1961b. The reaction between glass and water. Part 2. Discussion of the results. Physics and Chemistry of Glasses, 2, pp. 196-205.
- 17 Uhlmann D.R. and Kolbeck A.G., 1976. Phase Separation and the revolution in concepts of glass structure. Physics and Chemistry of Glasses, 17, pp. 147-157.
- 18 Verita M., 2000. Technology and deterioration of vitreous mosaic tesserae. Reviews in Conservation, 1, pp. 65-76.
- 19 Kontou E., Kotzamanis D., Lampropoulos V., 1995. "Glass. Technology: Deterioration and Conservation", Athens.
- 20 Lampropoulos V., Kalagri A., Valsamis L., 2001. An attempt to face the problem of iridescence on archaeological glass, in proceedings of the 1st International Conference "Hyles - Vitrum - Glass. History, Technology and Conservation of Glass and Vitreous Materials in the Hellenic area". Rhodes 1-4 April (in press). □